

А. М. Павлюченко, д.т.н., профессор, О. М. Шийко, к.т.н., доцент (Сумський національний аграрний університет, м. Суми, Україна)

До розрахунку аеродинамічного опору тертя і теплообміну при ламінарно-турбулентному переході в прикордонному шарі

Проведені дослідження і даються рекомендації до практичного застосування теорії турбулентних плям Емонса та асимптотичної теорії турбулентного шару С. С. Кутателадзе і А. І. Леонтьєва, ефективність яких перевірена експериментами при польоті в атмосфері дослідницького аерофізичного комплексу, для розрахунку коефіцієнтів тертя і тепло-віддачі переходного та турбулентного прикордонних шарів при обчисленні аеродинамічного нагріву і тертя на обтічних поверхнях.

Ключові слова: конвективна тепловіддача, аеродинамічний опір тертя, аеродинамічний нагрів, прикордонний шар, ламінарно-турбулентний переход.

Проведены исследования и даны рекомендации к практическому применению теории турбулентных пятен Эмmons и асимптотической теории турбулентного слоя С. С. Кутателадзе и А. И. Леонтьева, эффективность которых проверена экспериментами при полете в атмосфере исследовательского аэрофизического комплекса, для расчета коэффициентов трения и теплоотдачи переходного и турбулентного пограничных слоев при вычислении аэродинамического нагрева и трения на обтекаемых поверхностях.

Ключевые слова: конвективная теплоотдача, аэродинамическое сопротивление трения, аэродинамический нагрев, пограничный слой, ламинарно - турбулентный переход.

Researches are conducted and given recommendations to practical application of the theory of turbulent spots of Emmons and the asymptotic theory of a turbulent layer of S. S. Kutateladze and A. I. Leont'eva which efficiency is checked by experiments when flying in the atmosphere of a research aero physical complex, for calculation of coefficients of friction and a thermolysis of transitional and turbulent boundary layer at calculation of aerodynamic heating and friction on streamline surfaces.

Key words: convective thermolysis, aerodynamic resistance of friction, aerodynamic heating, boundary layer, laminar - turbulent transition.

Постановка проблеми в загальному вигляді

Процеси конвективного теплообміну надзвичайно широко розповсюджені в техніці. Проблема конвективної тепловіддачі безпосередньо пов'язана з проблемою тертя в пристінному прикордонному шарі. Прикладами об'єктів для розрахунку тепловіддачі і тертя є різного роду енергетичне обладнання (трубчасті та пластинчаті теплообмінники, рекуператори), магістральні газопроводи, проточні частини компресорів, поверхні літальних апаратів і т ін. Особливо складним завданням залишається розрахунок теплообміну і опору тертя понадзвукових пристінкових течій при наявності в них ламінарно-турбулентного переходу. Великі складністі теоретичного вирішення проблеми ламінарно-турбулентного переходу вимагають проведення експериментів в сучасних до-, понад- і гіперзвукових аеродинамічних установках, проведення льотних експериментів. Порівняння дослідних даних про значеннях числа Рейнольдса на початку ламінарно-турбулентного переходу в понад- і гіперзвукових прикордонних шарах, отриманих на моделях в аеродинамічних трубах і в льотних умовах показало, що числа Рейнольдса на початку переходу на об'єктах у польоті на порядок перевищували відповідні величини, отримані в аеродинамічних трубах.

Аналіз останніх досліджень та публікацій

В більшості літературних джерел, присвячених тепловіддачі і терту, наводяться залежності, які дозволяють проводити розрахунки коефіцієнтів тепловіддачі та тертя для випадків суперечкої ламінарної чи турбулентної пристінної течії [3, 4, 8, 9, 10]. В той же час, зна-

чна кількість існуючих публікацій [1, 2, 5, 6, 7] вказує на необхідність розробки методів розрахунку пристінного тертя і тепловіддачі за умови існування на обтічній поверхні ламінарно-турбулентного переходу. Появлено це з тим, що зона переходу від моменту втрати стійкості ламінарним прикордонним шаром і до повністю сформованого турбулентного прикордонного шару займає значну частину обтічної поверхні і точність розрахунків на цій частині поверхні суттєво впливає на загальний результат.

Мета статті

Метою даної статті є аналіз можливостей практичного застосування теорії турбулентних плям Емонса та асимптотичної теорії пристінного турбулентного шару С. С. Кутателадзе і А. І. Леонтьєва, для розрахунку аеродинамічних коефіцієнтів тертя і тепло-віддачі переходних та турбулентних надзвукових прикордонних шарів на обтічних поверхнях шляхом обчислення у якості прикладу коефіцієнта тертя та аеродинамічний нагрів на поверхні головної частини гіпотетичного надзвукового літального апарату, використовуючи зазначені теорії та дані по числах Рейнольдса початку ламінарно-турбулентного переходу, отримані в результаті льотних експериментів.

Викладення основного матеріалу досліджень

Для визначення локальних коефіцієнтів тертя і тепло-віддачі в точці на обтічній поверхні тіла у випадку турбулентного прикордонного шару можна застосувати асимптотичну теорію пристінної турбулентності, розроблену С. С. Кутателадзе та А. І. Леонтьєвим [3]. У

відповідності з [3] локальний коефіцієнт тертя для стискаємого турбулентного прикордонного шару може бути розрахований за залежністю:

$$\frac{C_f}{2} = \frac{C_{f0}}{2} \cdot (\Psi_M \cdot \Psi_t)^{0.8} \cdot \left(\frac{\mu_w}{\mu_e} \right)^{0.2},$$

$$\frac{C_{f0}}{2} = 0,0288 \cdot Re_x^{-0.2}, \quad Re_e = \frac{\rho_e \cdot u_e \cdot X}{\mu_e} \quad (1)$$

де $C_{f0}/2$ – локальний коефіцієнт тертя для турбулентного прикордонного шару нестискаємої рідини на плоскій пластинці при тому ж самому Re_x ; μ_w , μ_e – коефіцієнти динамічної в'язкості відповідно при температурі стінки та температурі потоку на зовнішній границі прикордонного шару; ρ_e , u_e – густина та швидкість потоку на зовнішній границі прикордонного шару; Re_e – число Рейнольдса на зовнішній границі прикордонного шару; ψ_M і ψ_t – відносні закони опору тертя, що враховують відповідно стисливість та неізотермічність в прикордонному шарі [3].

$$\Psi_M = \left[\frac{\arctg \left\{ M_e \cdot \sqrt{r_T \cdot \frac{k-1}{2}} \right\}}{M_e \cdot \sqrt{r_T \cdot \frac{k-1}{2}}} \right]^2; \quad \Psi_t = \left[\frac{2}{\sqrt{\frac{T_w}{T_{re}}} + 1} \right]^2; \quad (2)$$

$$r_T = \sqrt[3]{Pr}; \quad k = 1,4;$$

де M_e – число Маха на зовнішній границі прикордонного шару; T_e – температура на зовнішній границі прикордонного шару; T_w – температура стінки; T_{re} – температура відновлення, розрахована по параметрам T_e та M_e на зовнішній границі турбулентного прикордонного шару; r_T – коефіцієнт відновлення температури для турбулентного прикордонного шару, Pr – число Прандтля; k – показник адіабати.

$$T_{re} = T_e \cdot \left(1 + r_T \cdot \frac{k-1}{2} \cdot M_e^2 \right) \quad (3)$$

Для визначення локального коефіцієнту тертя в точці на поверхні тіла обертання у випадку стискаємого ламінарного прикордонного шару можна скористатися залежностями, наданими в [4] для поздовжнього обтікання плоскої пластинки:

$$\frac{C_f}{2} = \frac{C_{f0}}{2} \cdot \psi^{-0.11} \cdot \psi^{*-0.04}, \quad (4)$$

де ψ , ψ^* – параметри, що враховують неізотермічність обтікання плоскої пластинки ламінарним прикордонним шаром; $\psi = T_w/T_e$ – температурний фактор, $\psi^* = T_{re}/T_e$ – кінетичний температурний фактор; $C_{f0}/2$ – локальний коефіцієнт тертя для ламінарного прикордонного шару нестискаємої рідини на плоскій пластинці при тому ж самому Re_x , що може бути розрахований, наприклад, за формулою Блазіуса [8]

$$\frac{C_{f0}}{2} = \frac{0.332}{\sqrt{Re_e}} \quad (5)$$

Температура відновлення T_{re} , розрахована по параметрам T_e та M_e на зовнішній границі ламінарного

прикордонного шару

$$T_{re} = T_e \cdot \left(1 + r_{\lambda} \frac{k-1}{2} \cdot M_e^2 \right); \quad r_{\lambda} = \sqrt{Pr} \quad (6)$$

Питомий тепловий потік тепловіддачі від разогрітого газу до стінки в практичних розрахунках зазвичай виражають за допомогою формул Ньютона

$$q_w = \alpha \cdot (T - T_w) \quad (7)$$

тут T – характерна температура потоку, обтікаючого поверхню; T_w – температура стінки; α [Вт/(м².град)] – коефіцієнт тепловіддачі. У випадку дозвукової течії в прикордонному шарі температура $T = T_e$, для надзвукових течій $T = T_{re}$. Для характеристики тепловіддачі за міст розмірного коефіцієнта тепловіддачі зручно використовувати безрозмірний критерій – число Стантона

$$St = \frac{\alpha}{\rho_e \cdot u_e \cdot c_{p,e}} = \frac{q_w}{\rho_e \cdot u_e \cdot c_{p,e} \cdot (T_{re} - T_w)} \quad (8)$$

В такому разі

$$\alpha = St \cdot \rho_e \cdot u_e \cdot c_{p,e} \quad (9)$$

Число Стантона, що визначає тепловіддачу в стискаємому турбулентному прикордонному шарі до поверхні обтічного тіла, у відповідності з [3,4,10] можна обчислити за такими залежностями:

$$St_T = St_0 \cdot (\Psi_M \cdot \Psi_t)^{0.8} \cdot \left(\frac{\mu_w}{\mu_e} \right)^{0.2}, \quad St_0 = 0,0288 \cdot Re_x^{-0.2} \cdot Pr^{-\frac{2}{3}},$$

$$Re_x = \frac{\rho_e \cdot u_e \cdot X}{\mu_e}, \quad (10)$$

де Ψ_M і Ψ_t – параметри, що враховують стисливість в прикордонному шарі, неізотермічність процесу тепловіддачі та існуючий градієнт тиску і визначаються залежностями (2).

Алгоритм розрахунку коефіцієнту тепловіддачі для ламінарного стискаємого прикордонного шару визначається залежностями, наданими, наприклад, в [4,10]:

$$St_{\lambda} = \frac{0,332}{\sqrt{Re_x}} \cdot \frac{\sqrt{\psi_{\lambda}}}{Pr^{\frac{2}{3}}}, \quad \alpha_{\lambda} = St_{\lambda} \cdot \rho_e \cdot u_e \cdot c_{p,e} \quad (11)$$

$$\text{де } Re_x = \frac{\rho_e \cdot u_e \cdot X}{\mu_e}, \quad \psi_{\lambda} = \psi^{-0.22} \cdot \psi^{*-0.08}, \quad \psi = T_w/T_e,$$

$$\psi^* = T_{re}/T_e, \quad T_{re} = T_e \cdot \left(1 + r_{\lambda} \frac{\chi-1}{2} \cdot M_e^2 \right), \quad r_{\lambda} = \sqrt{Pr}. \quad \text{Для}$$

опису переходного прикордонного шару значний розвиток і застосування отримала модель турбулентних плям Емонса [1,2,5,6,7]. По Емонсу область переходу характеризується виникненням турбулентних плям, що не взаємодіють між собою і, розширяючись при русі по потоку, зливаються, утворюючи турбулентний прикордонний шар. Фізичний характер такої переміжної течії можна описати за допомогою коефіцієнту перемежаемості γ [9], що вказує, яку долю деякого часу в певному місці поверхні існує турбулентна течія. При $\gamma=1$ течія весь час турбулентна, а при $\gamma=0$ вона ламінарна. В [8] на підставі теорії турбулентних плям

Емонса та встановленого зв'язку між швидкістю утворення плям і числом Рейнольдса на початку зони переходу, отримано вираз для коефіцієнту перемежаемості, який справедливий при обтіканні теплоізольованої поверхні:

$$\gamma = 1,0 - \exp \left[-G_1 \cdot \frac{(X - X_n)^2}{u_e} \right], \quad G_1 = \frac{3,507}{A^2} \cdot \text{Re}_{tr}^{-1,34} \cdot \frac{u_e^3 \cdot \rho_e}{\mu_e^2},$$

$$A = 60 + 4,68 \cdot M_e^{1,92} \quad (12)$$

де G_1 - швидкість утворення турбулентних плям; X_n - поздовжня координата точки початку переходу в прикордонному шарі; X - поздовжня координата точок шару в зоні переходу; u_e - швидкість потоку на зовнішній границі прикордонного шару.

Для коректного розрахунку опору тертя та теплообміну обтічних поверхонь необхідно мати надійні дані про значення чисел Рейнольдса на початку області переходу. Незважаючи на велику кількість теоретичних досліджень, в теперішній час не існує визнаної завершеною теорії ламінарно-турбулентного переходу. В той же час експерименти в аеродинамічних трубах мають ряд обмежень. В сучасних над-і гіперзвукових аеродинамічних трубах одночасно не моделюються числа Рейнольдса, Маха, температурний фактор, існує акустичне поле [1]. В зв'язку з цим льотний експеримент є найбільш достовірним при дослідження явища переходу.

В ході льотних експериментів, проведених на головній частині ракетного аерофізичного комплексу типу «Облако» (рис.1) при польоті по траєкторії при $M_\infty \leq 2,0$, $\text{Re}_{L,\infty} \leq 2 \times 10^7$, $a \leq 12g$ до висоти $H=8$ км ламінарно-турбулентний перехід фіксувався по результатах вимірю температури стінки головної частини напівпровідниковими діодами КД-522, чутливість яких складає 2,5 мВ/град [1, 2]. Числа Рейнольдса при польоті аерофізичного комплексу «Облако», розраховані по поздовжній координаті X в точках 1-3 становили $\text{Re}_{x,\infty} \leq 10^6 - 10^7$. В ході виконання роботи були отримані надійні натурні кількісні дані по числах Рейнольдса на початку ламінарно-турбулентного переходу шляхом порівняння розрахункових та вимірюваних температур в трьох точках головної частини об'єкта «Облако» (рис.1).

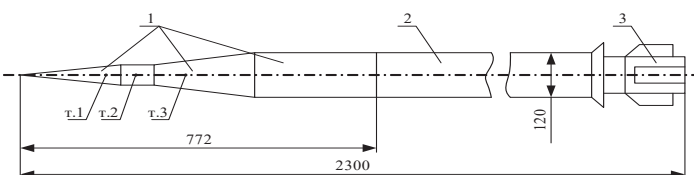


Рис. 1. Схема льотного аерофізичного комплексу багаторазового використання на основі метеоракети «Облако»: 1 – головна частина, 2 – двигун твердого палива РДТП, 3 – парашутний відсік; т. 1 – $X = 0,25$ м; $d_w = 4$ мм; матеріал Д16; т. 2 – $X = 0,28$ м; $d_w = 1,8$ мм; матеріал Д16; т. 3 – $X = 0,4$ м; $d_w = 1$ мм; матеріал 1Х18Н9Т

Так як в прикордонному шарі на головній частині комплексу «Облако» перехід відбувався в часі в фіксованих на поверхні точках на відміну від [7], то співвідношення (12) для коефіцієнту перемежаемості були представлені у вигляді [2]

$$\gamma \equiv 1,0 - \exp \left[-\frac{3,507}{A^2} \cdot \text{Re}_{tr}^{-1,34} \cdot \frac{u_e^2 \cdot \rho_e^2}{\mu_e^2} \cdot \frac{\mu_{etr}}{u_{etr} \cdot \rho_{etr}} \right] \times \left(\text{Re}_{x(\tau),e} - \text{Re}_{tr} \right)^2 \quad (13)$$

де $\text{Re}_{x(\tau),e}$ – місцеве число Рейнольдса, Re_{tr} – число Рейнольдса на початку зони переходу, ρ_e, μ_e, M_e – щільність, в'язкість та число Маха на зовнішній границі прикордонного шару. При $\tau \leq \tau_{tr}$ режим обтікання – ламінарний, а при $\tau > \tau_{tr}$ – перехідний, відповідаючий наявності турбулентних плям Емонса.

Для вирішення питання про режими течії в надзвуковому прикордонному шарі, в якості першого кроку були використані розрахункові криві стабілізації, що розглядаються в теорії стійкості прикордонного шару, і льотні значення температури стінки головної частини комплексу «Облако». На рис.2 наводиться діаграма стійкості прикордонного шару по Ван-Дрісту [11], на якій нанесена дані, що відповідають умовам по числах Маха M_e на зовнішній границі прикордонного шару та по температурному фактоту T_w / T_e на головній частині комплексу «Облако». Місце розміщення зони даних на діаграмі свідчить про можливість втрати стійкості ламінарного прикордонного шару, так як більшість льотних значень T_w / T_e знаходяться поза межами повної стабілізації ламінарного потоку при реалізованих в польоті числах Маха $M_\infty \leq 2,0$.

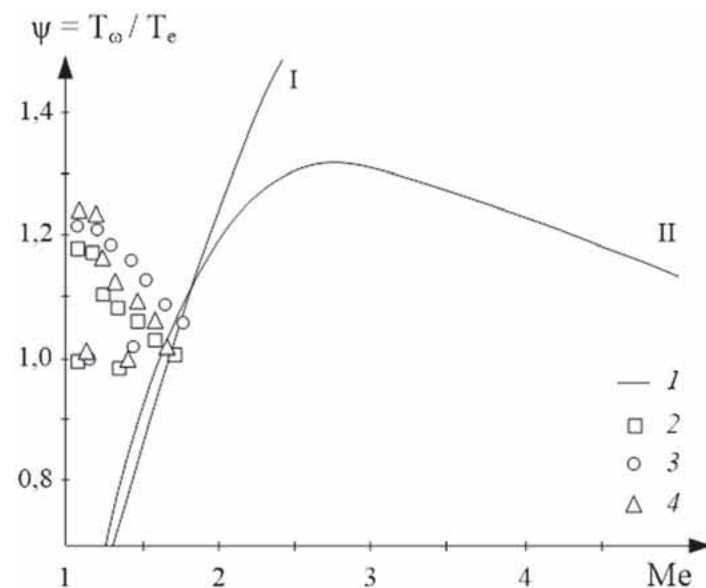


Рис. 2. Крива стабілізації надзвукового ламінарного прикордонного шару: I, II – розрахунок [11]; 2-4 – льотний експеримент на аерофізичному комплексі «Облако»: 1 – т. 1 $X = 0,25$ м; 2 – т. 2 $X = 0,28$ м; 3 – т. 3 $X = 0,4$ м; I – в'язкість по Сазерленду; II – $\rho \cdot \mu = const$; $\Pr = 1$

Другим кроком для визначення режиму ламінарно-турбулентного переходу було співставлення розрахункових та льотних даних по температурі стінки головної частини комплексу «Облако». Розрахунки температури стінки проводилися за умови граничних випадків існування на головній частині комплексу «Облако» тільки ламінарного або ж тільки турбулентного прикордонного шару. Розрахункові значення температури співставлялися з льотними значеннями T_w . На рис. 3 наводяться дані про розрахунки та вимірю температури стінки в одній з точок по довжині головної частини льотного комплексу «Облако» під час польоту. Співставлення представлених на рис.3 льотних та розрахункових даних по температурі стінки показує, що ламінарно-турбулентний перехід наставав

при $\tau = (6-7)$ с.

Розрахункові дані по температурі стінки в точках головної частини комплексу «Облако» під час польоту були отримані шляхом розв'язання нелінійного диференційного рівняння балансу тепла для тонкої стінки, так як для всіх ділянок головної частини комплексу критерій Біо становив $Bi < 0,01$:

$$\rho_w \cdot c_w \cdot \delta_w \cdot \frac{dT_w}{d\tau} = \alpha \cdot (T_{r,e} - T_w) - \alpha_1 \cdot (T_{w,6H} - T_{6H}^{no}) - q_{w,\Sigma}^{rad} \quad (14)$$

де ρ_w, c_w, δ_w – щільність, теплоємність та товщина стінки; α - коефіцієнт тепловіддачі при зовнішньому ламінарному або турбулентному обтіканні, α_1 - коефіцієнт тепловіддачі в умовах теплової гравітаційної конвекції в бортовому відсіку; $T_w, T_{w,6H}$ – відповідно температура зовнішньої і внутрішньої поверхні стінки; T_{6H}^{no} – температура повітря всередині бортового відсіку, $T_{r,e}$ – температура відновлення, обчислена по параметрах на зовнішній границі прикордонного шару.

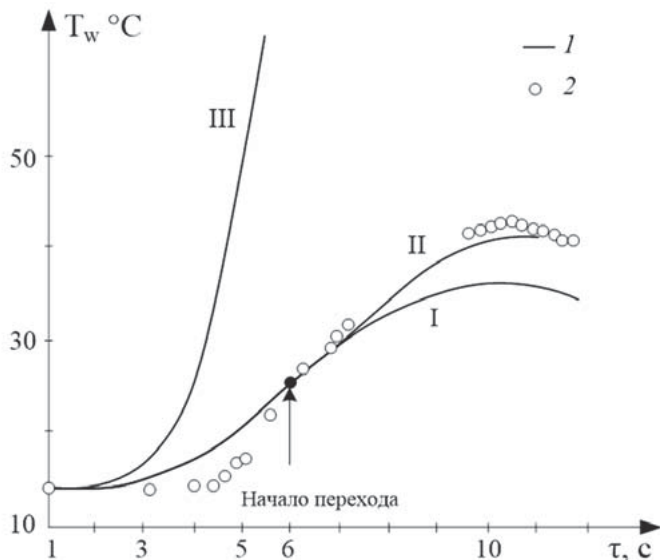


Рис. 3. Порівняння розрахункових і льотних даних по температурі стінки головної частини аерофізичного комплексу «Облако»: I – ламінарний прикордонний шар, II – перехідний режим в прикордонному шарі, III – турбулентний прикордонний шар; $X = 0,28$ м, $\delta_w = 1,8$ мм; матеріал Д16, 1 – розрахунок, 2 – льотний експеримент

В зоні ламінарно-турбулентного переходу температура поверхні розраховувалася з урахуванням коефіцієнту перемежаемості. В такому разі рівняння балансу тепла для тонкої стінки записувалося у вигляді

$$\rho_w \cdot c_w \cdot \delta_w \cdot \frac{dT_w}{d\tau} = [\alpha_{\lambda} \cdot (1-\gamma) + \alpha_T \cdot \gamma] \cdot (T_{r,e} - T_w) - \alpha_1 \cdot (T_{w,6H} - T_{6H}^{no}) - q_w^{rad} \quad (15)$$

де α_{λ} – коефіцієнт тепловіддачі механізмом теплової гравітаційної конвекції від внутрішньої поверхні стінки; q_w^{rad} – щільність теплового потоку випромінювання в оточуюче середовище, α_{λ} визначається залежностями (11), а α_T – залежностями (9) – (10).

У разі досягнення в точці обтічної поверхні чисел Рейнольдса початку ламінарно-турбулентного переходу Re_r розрахунок локального коефіцієнту тертя на основі теорії турбулентних плям Емонса виконувався за залежністю

$$\frac{C_f}{2} = \frac{C_{f\lambda}}{2} \cdot (1-\gamma) + \frac{C_{fr}}{2} \cdot \gamma \quad (16)$$

де $C_{f\lambda}/2$ – локальний коефіцієнт тертя для ламінарного пограничного шару, $C_{fr}/2$ – локальний коефіцієнт тертя для турбулентного пограничного шару, γ – коефіцієнт перемежаемості.

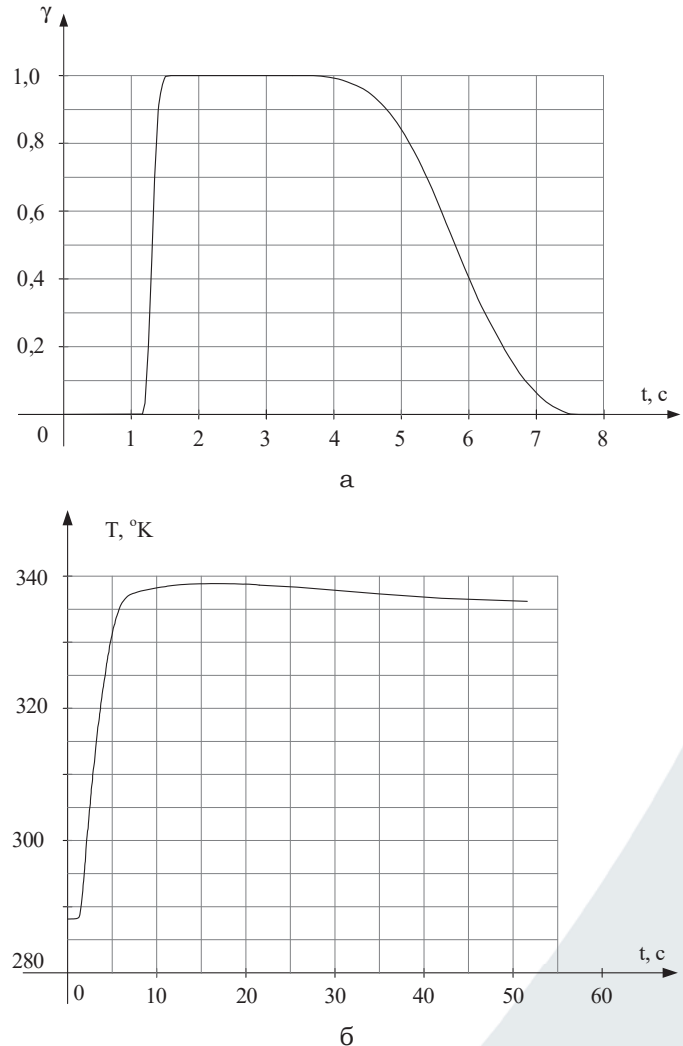


Рис. 4. Результати розрахунків коефіцієнту перемежаемості та аеродинамічного нагріву поверхні надзвукового літального апарату в залежності від часу: $X = 0,25$ м, $\delta_w = 1,4$ мм; матеріал стінки – сталь 1Х18Н9Т

Аналіз льотних даних по температурі стінки і чисельний експеримент дозволили визначити числа переходу для трьох точок на головній частині комплексу типу «Облако» [1] та довести ефективність моделі ламінарно-турбулентного переходу Емонса [6, 7] та асимптотичної теорії [3].

За допомогою перевіреніх льотним експериментом теорій були проведені розрахунки аеродинамічного нагріву та опору тертя на головній частині гіпотетичного літального апарату при числах Маха польоту по траєкторії $M \leq 2,0$. Для цього була використана система диференційних рівнянь руху реактивного некерованого літального апарату по траєкторії разом з диференційними рівняннями балансу тепла для тонкої стінки (14)-(15), а також дані по критичному значенню числа Рейнольдса переходу з роботи [1]. Система залучених нелінійних диференційних рівнянь розв'язувалася чисельно методом Рунге-Кутта. Результати розрахунків наведені на рис. 4. Зокрема, на рис. 4, а приведені розрахункові залежності від часу коефіцієнту пе-

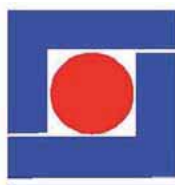
ремежаемості, а на рис. 4,б температури стінки літального апарату в точці на обтічній поверхні при $X=0,25$ м; $\delta_w=4$ мм; матеріал стінки – сталь 1Х18Н9Т.

Висновки

Проведені дослідження та отримані в даній роботі результати свідчать про можливість застосування теорії турбулентних плям Емонса і асимптотичної теорії прикордонного шару при розрахунках теплообміну та тертя за наявності в пристінному прикордонному шарі ламінарно-турбулентного переходу, ефекту стисливості і неізотермічності при розрахунках нагріву і тертя як на обтічних поверхнях літальних апаратів, так і різного роду енергетичного та промислового обладнання (трубчастих та пластинчатих теплообмінників, рекуператорів, проточних частин компресорів та ін.).

Список літератури

1. Леонтьев, А. И. Ламинарно-турбулентный переход в сверхзвуковых пограничных слоях на летном осесимметричном аэрофизическом комплексе и на модели в аэродинамической трубе при наличии теплообмена и отсоса воздуха [Текст] / А. И. Леонтьев, А. М. Павлюченко // Теплофизика высоких температур. – 2008. – Т. 46, № 4. – С. 596 – 622.
2. Павлюченко, А. М. Численный метод обработки летного теплового эксперимента на метеоракете типа "Облако" с учетом теории турбулентных пятен Эммонса [Текст] / А. М. Павлюченко, Е. М. Максимова // Изв. СО АН СССР. Сер. техн. наук. – 1983. – Вып. 2,
3. Кутателадзе, С. С. Тепломассообмен и трение в турбулентном пограничном слое [Текст] / С. С. Кутателадзе, А. И. Леонтьев // М.: Энергия.–1985. – 319 с.
4. Кутателадзе, С. С. Основы теории теплообмена / С. С. Кутателадзе // М: Атомиздат. – 1979. – 416 с.
5. Решотко, Э. Устойчивость ламинарного пограничного слоя и его переход в турбулентный /Э. Решотко // Вихревые движения жидкости. – М.: Мир. – 1979. – С. 11–57.
6. Emmons, H. W. The Laminar-Turbulent Transition in a Boundary Layer / H. W. Emmons, A. E. Bryson // Proc. Ist. U. S. Nat. Conf. Theor. and Appl. Mech. Amer. Soc. Mech. Eng. – №4 –1951. – P. 859.
7. Chen, K. K. Extension of Emmon's Spot Theory to flow on Blunt Bodies. / K. K. Chen, N. A. Thyson // AIAA Journal. –1971. – v. 9, № 5. – P. 821.
8. Лойцянский, А. Г. Механика жидкости и газа/ А. Г. Лойцянский // Учеб. для вузов.– 7-е изд., испр. –М.: Дрофа. – 2003. – 840 с.
9. Шлихтинг, Г. Теория пограничного слоя / Г. Шлихтинг // М.: Наука. – 1969. – 742 с.
10. Леонтьев, А. И. Теория тепломассообмена / А. И. Леонтьев // М.: Высшая школа. – 1979. – 495 с.
11. Van Driest, E. R. Calculation the Stability of the Laminar Boundary Layer in Compressible Fluid on a Flat Plate with Heat Transfer / E. R. Van Driest E. R // Journ. Aero. Sci. –1952. – V.19. – P. 71.



ГЕРВИКОН + НАСОСЫ
HERVICON + PUMPS



5 - 8 сентября 2017, СумГУ, г. Сумы, Украина

XV-я Международная научно-техническая конференция
"Герметичность, вибонадежность и экологическая

безопасность насосного и компрессорного
оборудования",

III-й Международный форум

"Компьютерное моделирование, проектирование,
изготовление и эксплуатация насосного оборудования"

XVII-й Специализированный семинар

"Проблемы безопасной эксплуатации компрессорного и
насосного оборудования в химической промышленности"

Организационный комитет
Сумський державний університет,
ул. Римського-Корсакова, 2,
г. Суми, 40007, УКРАЇНА
Тел./Факс: (0542) 33-35-94

E-mail: a.zagorulko@omdm.sumdu.edu.ua

Web: www.hervicon.sumdu.edu.ua

Организаторы

Сумський державний університет,
Управляющая компания «Гидравлические машины и системы»,
ООО «ТРИЗ».

Тематика

- Проблемы снижения стоимости жизненного цикла насосного и компрессорного оборудования.
- Уплотнения неподвижных, аксиально-подвижных соединений и вращающихся валов, повышение надежности и эффективности уплотнительных устройств насосов и компрессоров.
- Вопросы гидрогазодинамики, оптимизации, динамики и прочности турбомашин и их узлов.
- Снижение шума и вибрации, вибродиагностика и прогнозирование остаточного ресурса, балансировка и динамика роторов насосов и компрессоров.
- Вопросы трибологии и метрологии подшипников и уплотнений, новые материалы и технологии.
- Экологически безопасная эксплуатация насосного и компрессорного оборудования, проблемы энерго- и ресурсосбережения.

Последний срок подачи заявок на участие в Конференции
с докладом – 15.04.2017 г., без доклада – 15.08.2017 г.